

ارزیابی تاثیر اندازه و جنس کریستال بر روی کسر پراکنده بین کریستالی و پارالاکس در کریستالهای سیستم PET با استفاده از شبیه سازی مونت کارلو

سارالشکری^۱، سعید سرکار^{۲*}، محمد رضا آی^۳، آمان رحمیم^۴

۱- دانش آموخته کارشناسی ارشد فیزیک پزشکی، دانشگاه علوم پزشکی تهران و مرکز تحقیقات علوم و تکنولوژی در پزشکی تهران، ایران

۲- دانشیار گروه فیزیک و مهندسی پزشکی، دانشگاه علوم پزشکی تهران و مرکز تحقیقات علوم و تکنولوژی در پزشکی تهران، ایران

۳- استادیار گروه فیزیک و مهندسی پزشکی، دانشگاه علوم پزشکی تهران و مرکز تحقیقات علوم و تکنولوژی در پزشکی تهران، ایران

۴- استادیار گروه رادیولوژی، دانشگاه علوم پزشکی جان هاپکینز، بالتی مور، آمریکا

تاریخ دریافت نسخه اصلاح شده: ۸۷/۶/۲۰ تاریخ پذیرش مقاله: ۸۷/۶/۲۳

چکیده

مقدمه: در این تحقیق از کد مونت کارلو (MCNP4C) جهت ارزیابی کمی تاثیر اندازه و جنس کریستال بر روی کسر پراکنده بین کریستالی و پارالاکس در کریستالهای سیستم PET استفاده گردید.

مواد و روشها: در راستای این ارزیابی کریستال مرکزی در هر یک از ۵ کریستال که هر کدام مشتمل از آرایه های 13×13 با کریستال های $4 \times 4 \times 20$ میلی متر مکعب، با بهره گیری از یک چشم نقطه ای 511 کیلوالکترون ولت تحت تابش قرار گرفت. توابعی همانند صحت تشخیص موقعیت برهمکنش فوتون، درصد وقایعی که دچار پراکنده بین کریستالی و پارالاکس گردیده اند و تابع نقطه گستر در کریستالهای مختلف با تغییر پارامترهای نظیر طول، اندازه سطح و همچنین تغییر زاویه فوتون ورودی، مورد بررسی قرار گرفتند. صحت نتایج نرم افزار از طریق مقایسه با نتایج بدست آمده توسط شاوه همکارانش مورد ارزیابی قرار گرفت.

نتایج: بر اساس نتایج شبیه سازی و آنالیز کمی نتایج بدست آمده، مشخص گردید با افزایش اندازه سطح کریستال، صحت تشخیص موقعیت برهمکنش فوتون افزایش و پراکنده بین کریستالی کاهش پیدا می کند اما با افزایش طول کریستال، صحت تشخیص موقعیت برهمکنش کاهش و پراکنده بین کریستالی افزایش پیدا می کند.

بحث و نتیجه گیری: با در نظر گرفتن خواص مرتبط با تضعیف فوتون 511 کیلوالکترون ولت، می توان گفت کریستال BGO مناسبترین کریستال جهت کاهش پدیده پراکنده بین کریستالی می باشد. اما با توجه به بالابودن میزان نور تولیدی در کریستال LSO و همچنین سرعت میرا شدن نور در این کریستالها، این دو کریستال در بیشتر سیستمهای PET مورد استفاده قرار می گیرند. از توابع بدست آمده برای پراکنده بین کریستالی و پارالاکس، می توان در پروسه بازسازی جهت بازیافت قدرت تفکیک و بهینه کردن کیفیت تصاویر استفاده نمود. (مجله فیزیک پزشکی ایران، دوره ۵، شماره ۲، پیاپی (۲۱)، پاییز و زمستان ۸۷-۷۶: ۶۷)

واژگان کلیدی: تعیین موقعیت، پراکنده بین کریستالی، پارالاکس

*نویسنده مسؤول: سعید سرکار

آدرس: تهران، گروه فیزیک و مهندسی پزشکی دانشگاه علوم پزشکی تهران

sarkar@sina.tums.ac.ir

تلفن: +۹۸ (۰) ۶۶۴۶۳۸۳-۰۹۸ نمبر: +۹۸ (۰) ۸۸۹۷۳۶۵۳

۱- مقدمه

تخمین موقعیت دقیق برهمکنش فوتون با کریستال، ممکن نیست. استفاده از این روش، منجر به کاهش قدرت تفکیک مکانی و کاهش رد فوتونهای پراکنده می‌گردد [۱]. اخیراً محققین [۴-۲] و سازندگان [۵] با مدلسازی دقیق پدیده هایی همانند پراکنده‌گی بین کریستالی و پارالاکس که- منجر به کاهش قدرت تفکیک مکانی می‌گردند، کیفیت تصاویر سیستم PET را بطور قابل ملاحظه‌ای، بهبود داده اند [۵]. از آنجا که اندازه گیری عملی پدیده پراکنده‌گی بین کریستالی و پارالاکس که در آن یک فوتون پس از ورود به کریستال، پراکنده شده و در کریستال مجاور ثبت می‌گردد و یا مستقیماً به کریستال مجاور می‌رود، غیر ممکن و بسیار پر هزینه می‌باشد در این تحقیق از شبیه سازی مونت کارلو جهت برآورد میزان پراکنده‌گی بین کریستالی بصورت تابعی از جنس و اندازه کریستال، استفاده گردید. با استفاده از شبیه سازی میتوان کلیه اثرات مربوط به کاهش قدرت تفکیک مکانی سیستم از جمله پراکنده‌گی بین کریستالی و پارالاکس را بدون استفاده از سیستم رباتیک، که معمولاً پر هزینه می‌باشد، اندازه گیری کرده [۶]، با ثبت این اثرات در ماتریس تصویر در طول پروسه بازسازی تصویر، محیی و اعوجاج ناشی از این اثرات را کاهش داد و به قدرت تفکیک یکنواخت و بهینه‌ای دست یافت.

۲- مواد و روشها

کد مونت کارلو (MCNP4C) جهت تراپرد فوتون ۵۱۱ کیلوالکترون ولت با بهره گیری از چشممه نقطه‌ای که در فاصله مشخصی از بلوك آشکارساز قرار گرفته بود، استفاده گردید. کد مونت کارلو (MCNP4C) علاوه بر تراپرد الکترون و فوتون، توانایی تراپرد نوترون را نیز دارد و از این نظر دارای قابلیت‌های بالایی می‌باشد. کلیه مواد و هندسه‌های با پیچیدگی بالا در این کد قابل پیاده سازی می‌باشد، تنوع

در سالهای اخیر، کمپانیهای سازنده اسکنرهای PET^۱ تلاش کرده اند تا با استفاده از کریستالهای سوسوزنی با ابعاد کوچک قدرت تفکیک مکانی^۲ سیستم را افزایش دهند که این امر منجر به افزایش پدیده پراکنده‌گی بین کریستالی^۳، گردیده است. برای رسیدن به قدرت تفکیک مکانی بالا، بایستی سایز کریستالهای مورد استفاده در سیستم PET کوچک و کوچکتر شود. اما مشکل اساسی در رسیدن به قدرت تفکیک مکانی بالا، جذب کامل فوتون ۵۱۱ کیلوالکترون ولت در آشکارسازهایی با سطح کوچک یعنی کاهش فرار فوتونهای کامپتون به کریستالهای همسایه است. این وقایع بعنوان پراکنده‌گی بین کریستالی شناخته شده اند که در آنها یک یا هر دو فوتون نابودی پس از برخورد و برهمکنش با کریستال تحت تابش پراکنده شده و در بیشتر از یک کریستال آشکار می‌شوند. پارالاکس^۴ عامل محدودگذارنده دیگری است که با توجه به نفوذ فوتون فرودی به کریستالهای مجاور کریستال تحت تابش رخ می‌دهد. بعارت دیگر وقایعی که در آنها اولین برهمکنش فوتون پس از برخورد با کریستال تحت تابش در کریستال فوق نمی‌باشد پارالاکس در نظر گرفته می‌شوند.

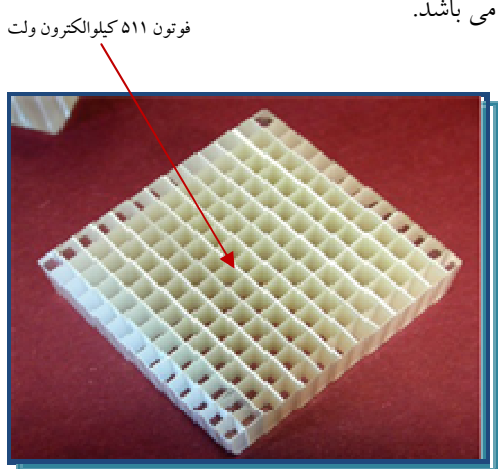
یکی دیگر از عوامل کاهش کنتراست تصویر، استفاده از ماتریس انگر^۵ جهت تعیین موقعیت برخورد فوتونها به کریستال، می‌باشد. با توجه به اینکه هر بلوك کریستالی از تعداد زیادی کریستال (با تکنولوژی امروزه حدوداً $169 \times 13 \times 13$) که به چهار تیوب فوتومولتی پلایر^۶ متصل شده اند، تشکیل شده است، با ماتریس انگر فقط می‌توان موقعیت مرکز ثقل برهمکنشهای فوتون را تخمین زد. با استفاده از این روش،

-
- 1- Positron Emission Tomography
 - 2 - Spatial Resolution
 - 3- Intercrystal Scatter
 - 4- Parallax
 - 5- Anger Logic
 - 6- Photo Multi Player Tube

ارزیابی تاثیر اندازه و جنس کریستال بر کسر پراکندگی

لازم به ذکر است که در کلیه شبیه سازیهای انجام شده در این تحقیق تعداد ۵۰۰۰۰ فوتون شبیه سازی شده است.

اگرچه خطای محاسبه شده با شبیه سازی این تعداد فوتون در حد قابل قبول ۰/۰۰۴ درصد می باشد، اما یکی از محدودیتهای اصلی در افزایش تعداد فوتونها حجم شدن فایلهای خروجی (هرفایل ۱۰ گیگابایت) کلیه اطلاعات از قبیل محل برهمکنش فوتونها، انرژی پس از برخورد، نوع برهمکنش، زاویه پراکنده وغیره می باشد.



شکل ۱-نمایی از بلوک آشکارساز شبیه سازی شده شامل آرایه ۱۳×۱۲ از کریستالها با ابعاد ۲۰×۴×۴ میلی مترمکعب.

شکل ۱ نمایی از بلوک آشکارساز شبیه سازی شده را که شامل یک آرایه ۱۳×۱۲ از کریستالها با ابعاد ۴×۴×۲۰ میلی مترمکعب می باشد، نمایش می دهد.

نظر به اینکه هدف اصلی این تحقیق مدلسازی اثرات پراکنده بین کریستالی و پارالاکس می باشد از کد مونت کارلو (MCNP4C) که چشممه های ساطع کننده تک فوتون را شبیه سازی می کند، استفاده گردید. در انتخاب نوع آشکارسازهای مورد استفاده جهت تحقق اهداف این تحقیق خصوصیات فیزیکی کریستال (اندازه و جنس کریستال) و همچنین خصوصیات مربوط به تضعیف فوتون ۵۱۱ کیلوالکترون ولت داخل کریستال مد نظر قرار گرفته است و سایر پارامترهای

روشهای کاهش واریانس و خروجیهای این کد در مقایسه با دیگر کدهای چند منظوره، آنرا در رده یکی از پرکاربردترین کدهای موجود قرار داده است.

در راستای این ارزیابی کریستال مرکزی در هر یک از ۵ عدد کریستال BGO, LSO, LuAP, GSO هرکدام ۲۰×۴×۱۳ میلی مترمکعب از آرایه های ۲۰×۴×۴ با کریستالهای ۴×۴×۱۳ مترمکعب تحت تابش قرار گرفت.

در این تحقیق، شبیه سازیها جهت بررسی تاثیر جنس کریستال روی صحت تشخیص موقعیت برهمکنش فوتون (درصد واقعی که در کریستال تحت تابش تعیین موقعیت شده اند). و نیز کسر پراکنده بین کریستالی در بلوک آشکارساز با تغییر اندازه و جنس کریستال انجام گرفتند. شبیه سازیهای متعددی همراه با تغییر اندازه سطح و طول کریستال بمنظور بررسی اثرات تغییر ابعاد و جنس کریستال روی درصد مقدار پارامترهای صحت تشخیص موقعیت برهمکنش فوتون و پراکنده بین کریستالی، انجام شد. همچنین تاثیر جنس کریستال روی پارالاکس با تغییر زاویه فوتون ورودی مورد بررسی قرار گرفت. علاوه بر این با تغییر زاویه فوتون ورودی، تابع پاسخ سیستم نسبت به چشممه نقطه ای با تغییر زاویه فوتون ورودی (در سه زاویه ۰، ۴۵ و ۳۰ درجه) که یک تابع با توزیع گوسی می باشد مورد ارزیابی قرار گرفت.

در این روش با قرار دادن یک چشممه نقطه ای در فاصله ۱۰ سانتیمتر از بلوک آشکارساز به بررسی میزان تخریب قدرت تفکیک مکانی بلوک با تغییر زاویه فوتون ورودی (در سه زاویه ۰، ۴۵ و ۳۰ درجه) پرداخته شد. ملاک ارزیابی بررسی پارامتر پهنهای منحنی در نصف ارتفاع پیشینه^۱ از تابع گوسی بدست آمده می باشد که پهنهای تابع گوسی در نصف مقدار ماکزیمم می باشد.

1- Full With at Half Maximum

گردید. در راستای این ارزیابی کریستال مرکزی در هر یک از ۵ عدد کریستال BGO, LSO LYSO, LuAP, GSO هر کدام متشکل از آرایه های 13×13 با کریستالهای $4 \times 4 \times 20$ میلی متر مکعب، با بهره گیری از یک چشم نقطه ای که در فاصله ۱۰ سانتی متر از بلوکها قرار گرفته بود، با فوتون ۵۱۱ کیلوالکترون ولت مورد تابش قرار گرفت.

۱-۲- صحبت تشخیص موقعیت بر همکنش فوتون

جهت تعیین تاثیر اندازه سطح و جنس کریستال روی مقدار پارامتر صحبت تشخیص موقعیت بر همکنش فوتون در هریک از ۵ بلوک آشکارساز انتخاب شده، اندازه سطح کریستال از ۱ میلی مترمربع تا ۸ میلی مترمربع با بازه $0/5$ میلی مترمربع تغییر داده شد و مقدار پارامتر مذکور و تغییر آن با توجه به تغییر اندازه سطح کریستال، مورد بررسی قرار گرفت.

جهت بررسی تاثیر طول و جنس کریستال روی مقدار پارامتر صحبت تشخیص موقعیت بر همکنش فوتون در هریک از ۵ بلوک آشکارساز انتخاب شده، طول کریستال از ۱۰ میلی متر تا ۴۰ میلی متر با بازه ۵ میلی متری تغییر داده شد.

۲-۲- کسر پراکندگی بین کریستالی

در حالت اول این تحقیق، جهت ارزیابی تاثیر اندازه سطح و جنس کریستال روی مقدار پارامتر فوق، در هریک از ۵ بلوک آشکارساز انتخاب شده، اندازه سطح کریستال از ۱ میلی مترمربع تا ۵ میلی مترمربع با بازه ۱ میلی مترمربع تغییر داده شد و مقدار پارامتر مذکور و تغییر آن با توجه به تغییر اندازه سطح کریستال، مورد بررسی قرار گرفت.

در حالت دوم این تحقیق به بررسی تغییر این پارامتر ناشی از تغییر اندازه طول کریستال همراه با تغییر جنس کریستال پرداخته شد. در این حالت در ۵ بلوک آشکارساز ذکر شده، طول کریستال از ۱۰ میلی متر تا ۴۰ میلی متر با بازه ۵ میلی متری تغییر داده شد.

لازم جهت انتخاب یک کریستال برای سیستم PET همانند میزان نور تولیدی^۱، سرعت میرا شدن نور^۲ وغیره مورد توجه قرار نگرفته است.

از آنجا که بررسی پدیده پراکندگی بین کریستالی از طریق تجربی، عملاً غیرممکن بوده و نیاز به تجهیزات آزمایشگاهی - بسیار پرهزینه‌ای دارد، در این تحقیق، جهت ارزیابی دقت نرم افزار، داده های محاسبه شده توسط شائو [۷] و همکارانش کارلو (MCNP4C) با مقایسه نتایج آن با داده های محاسبه شده توسط شائو و همکارانش مورد ارزیابی قرار گرفت.

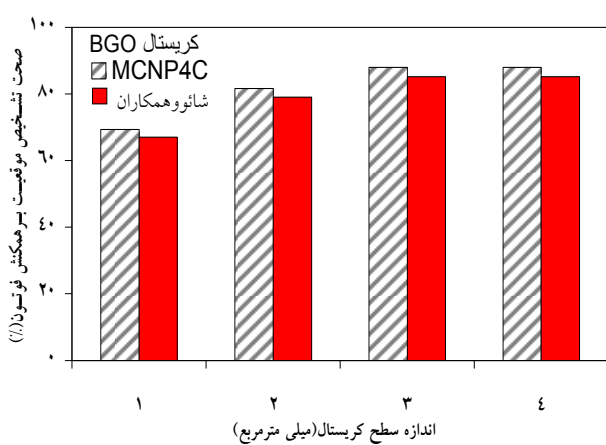
جهت ارزیابی دقیق کد مونت کارلو (MCNP4C)، از یک آرایه 8×8 از کریستالهای BGO با اندازه $10 \times 10 \times 2$ میلی متر مکعب که دقیقاً مشابه با هندسه بکار گرفته شده توسط گروه فوق بوده است، استفاده گردید. کریستال مرکزی واقع در بلوک، با استفاده از یک منبع نقطه ای 511 کیلوالکترون ولت تحت تابش قرار گرفت. تک نک فوتونها از ابتدای برخورد با کریستال تا زمانیکه از آن خارج گشته و یا در آن متوقف گردیدند، ردیابی شدند. تاریخچه هر فوتون شامل مختصات نقطه برخورد، نوع برهمکنش، انرژی پس از برخورد ذره و جهت حرکت ذره در یک ماتریس بشکل جداگانه ثبت گردید. الگوریتمی جهت برآورد میزان پدیده های پراکندگی بین کریستالی و صحبت تشخیص موقعیت بر همکنش فوتون در بلوک آشکارساز استفاده گردید. درصد وقایع پراکندگی بین کریستالی بصورت نسبت وقایعی که حداقل یکی از برهمکنشهای ثانویه فوتون در کریستال تحت تابش اتفاق نیفتاده به تعداد کل وقایع ثبت شده در بلوک آشکارساز، تعریف گردید.

در این تحقیق از الگوریتم وزن انرژی^۳ [۷] جهت تعیین کریستال تحت تابش فوتون 511 کیلوالکترون ولت استفاده

1- Light Yield

2- Decay Time

3- Weighted Energy



شکل ۲- مقایسه بین داده های شائو و همکارانش و کد مونت کارلو (MCNP4C)، کریستال مرکزی واقع در آرایه 8×8 با استفاده از یک منبع نقطه ای ۵۱۱ کیلوالکترون ولت تحت تابش قرار گرفت.

شکل ۳ نمایی سه بعدی از نحوه توزیع موقعیتهای شناسایی شده با روش وزن انرژی در آرایه 13×13 از کریستالهای شبیه سازی شده با اندازه $4 \times 4 \times 20$ میلی مترمکعب را بعد از تابش فوتون به کریستال مرکزی، تحت دو زاویه 0° و 10° درجه نشان می دهد. همانطور که پیداست، در کلیه نتایج مربوط به زاویه صفر درجه، بیشترین تعداد شمارش در کریستال تحت تابش، ثبت شده و تعداد کمی در کریستالهای همکار باشند. همچنین نتایج نشان می دهد در زاویه 10° درجه، تعداد شمارش در کریستال تحت تابش کاهش یافته و در کریستالهای همکار افزایش یافته است که علت این امر پراکندگی بین کریستالی و پارالاکس می باشد.

۳-۲- پارالاکس

در این تحقیق جهت ارزیابی تاثیر جنس کریستال روی پارالاکس، مقدار این پارامتر با تغییر زاویه فوتون ورودی از 0° تا 40° درجه با بازه 10° درجه مورد ارزیابی قرار گرفت.

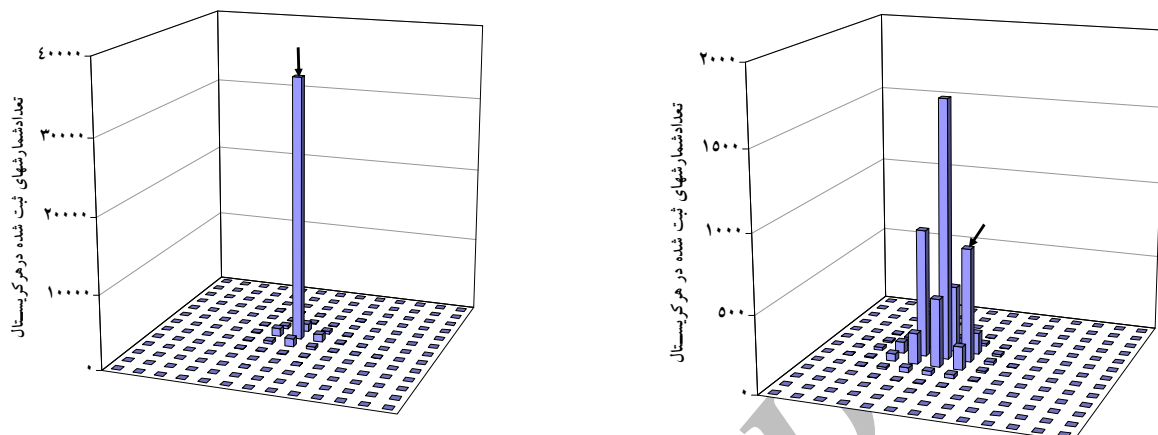
۴- تابع نقطه گستر

در این روش با بهره گیری از یک چشم نموده ای که در فاصله ۱۰ سانتی متر از بلوك آشکارساز قرار گرفته بود و به کریستال مرکزی واقع در بلوك تابانده شد، تابع پاسخ سیستم نسبت به این چشم نموده ای که یک تابع با توزیع گوسی می باشد مورد ارزیابی قرار گرفت. در این ارزیابی هر چقدر مقدار پارامتر پهنای منحنی در نصف ارتفاع پیشینه کوچکتر باشد نشانه هندسه قدرت تفکیک مکانی بهتر و وضوح بیشتر است و در نهایت کنترast دارای وضعیت بهتری می باشد. جهت بدست آوردن نمودار تابع نقطه گستر تعداد و قایع ثبت شده در کریستالهای هم دیف با کریستال تحت تابش بر حسب موقعیت مکانی هر یک از کریستالها مورد ارزیابی قرار گرفت.

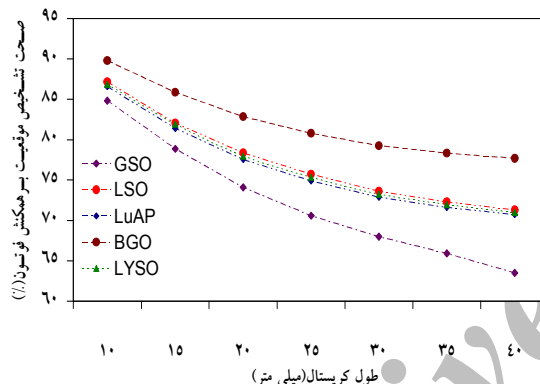
۳- نتایج

نمودار ۲ میزان تغییر پارامتر صحت تشخیص موقعیت بر همکنش فوتون با تغییر اندازه سطح کریستال از ۱ میلی مترمربع الی ۴ میلی متر مربع را نشان می دهد. اختلاف مشاهده شده در نتایج فوق را میتوان به عدم شبیه سازی فوتونهای نورمرئی در کد مونت کارلو (MCNP4C) نسبت داد.

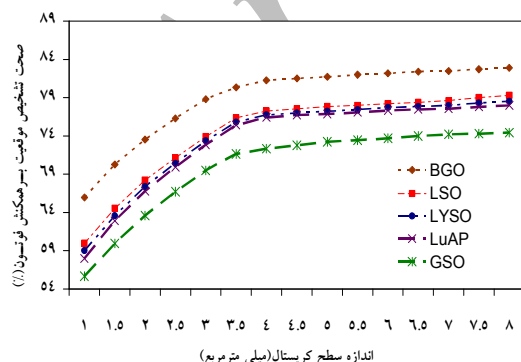
این در حالیست که در تحقیق انجام شده توسط گروه شائو و همکارانش، نورمرئی توسط کد DETECT [۸] مدل سازی شده است. یکی دیگر از منابع اصلی اختلاف بین نتایج کد مونت کارلو (MCNP4C) و نتایج گروه شائو و همکارانش استفاده از جداول سطح مقطع متفاوت در شبیه سازی فوتونهای ۵۱۱ کیلوالکترون ولت می باشد.



شکل ۳-نمایی سه بعدی از نحوه توزیع موقعیت‌های شناسایی شده باروش وزن انرژی در آرایه 12×12 از کریستال‌های شبیه سازی شده با اندازه 4×20 میلی مترمکعب بعد از تابش فوتون به کریستال مرکزی تحت زاویه 0° درجه(چپ) و زاویه 0° درجه(راست).



شکل ۴-الف- نمودار تغییر پارامتر صحت تشخیص موقعیت بر همکنش فوتون ناشی از تغییر طول کریستال برای ۵ بلوك آشکارساز انتخاب شده. کریستال مرکزی واقع در آرایه 12×12 از کریستال‌های LuAP، BGO، LSO، LYSO، GSO با ابعاد 4×20 میلی مترمکعب، با استفاده از یک منبع نقطه‌ای ۵۱۱ کیلوالکترون ولت تحت تابش قرار گرفت.



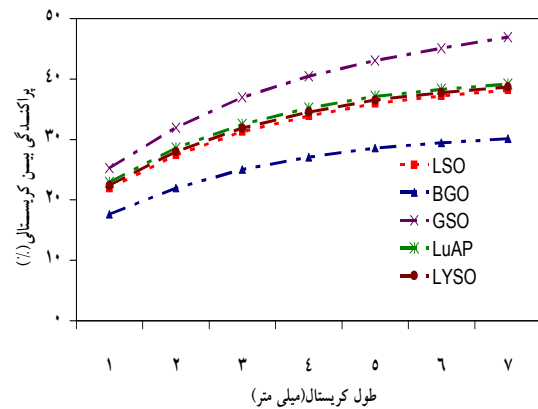
شکل ۴-ب-نمایش تغییرات پارامتر صحت تشخیص موقعیت بر همکنش فوتون ناشی از تغییر اندازه سطح کریستال برای ۵ بلوك آشکارساز انتخاب شده. کریستال مرکزی واقع در آرایه 12×12 از کریستال‌های LuAP، BGO، LSO، LYSO، GSO با ابعاد 4×20 میلی مترمکعب، با استفاده از یک منبع نقطه‌ای ۵۱۱ کیلوالکترون ولت تحت تابش قرار گرفت.

با توجه به اینکه پارالاکس منجر به کاهش دقت تخمین موقعیت یابی بر همکنش می‌گردد، پراکندگی بین کریستالی که پس از پارالاکس اتفاق می‌افتد، صحت تخمین موقعیت بر همکنش را بیش از پیش کاهش می‌دهد. زیرا این پدیده منجر به پخش انرژی فوتون در نقاط مختلف کریستال می‌گردد، که این امر موجب کاهش بیش از حد قدرت تفکیک مکانی می‌گردد.

۱-۳- صحت تشخیص موقعیت بر همکنش فوتون

شکلهای ۴-الف و ۴-ب بترتیب درصد تغییرات صحت تشخیص موقعیت بر همکنش فوتون بر اساس تغییر طول و اندازه سطح کریستال نشان داده شده است. همانگونه که در شکلهای ۴-الف و ۴-ب مشاهده می‌شود، با افزایش طول کریستال درصد صحت تشخیص موقعیت بر همکنش فوتون کاهش و با افزایش اندازه سطح کریستال افزایش می‌یابد. این نتایج نشان می‌دهد که بین ۵ بلوك آشکارساز انتخاب شده کمترین درصد این پارامتر متعلق به GSO و بیشترین درصد این پارامتر متعلق به BGO می‌باشد.

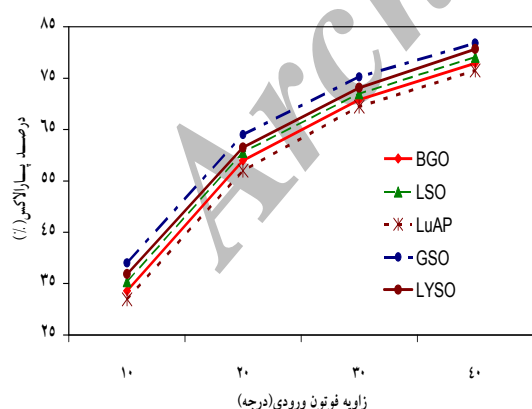
ارزیابی تاثیر اندازه و جنس کریستال بر کسر پراکندگی



شکل ۶- درصد پراکندگی بین کریستالی ناشی از تغییر طول کریستال برای ۵ بلوک آشکارساز انتخاب شده. کریستال مرکزی واقع در آرایه 13×13 از کریستالهای BGO, LSO, LYSO, GSO و LuAP با ابعاد $4 \times 4 \times 20$ میلی متر مکعب، با استفاده از یک منبع نقطه‌ای ۵۱۱ کیلوالکترون ولت تحت تابش قرار گرفت.

۳-۳- پارالاکس

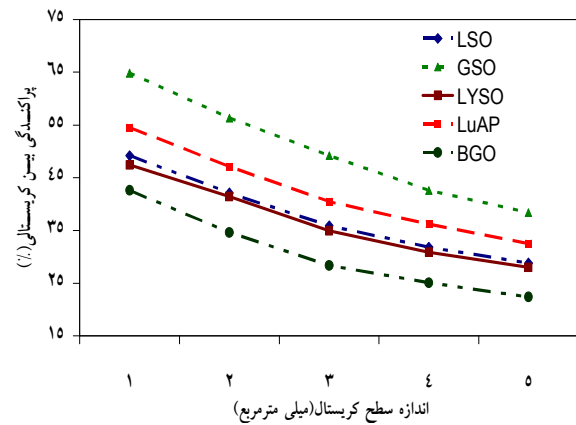
در شکل ۷ تاثیر جنس کریستال روی پارالاکس با تغییر زاویه فوتون ورودی نشان داده شده است. همانگونه که در شکل ۵ مشاهده می‌شود، با افزایش زاویه فوتون ورودی درصد پارالاکس افزایش می‌یابد. این نتایج نشان می‌دهد که بین ۵ بلوک آشکارساز انتخاب شده بیشترین درصد پارالاکس متعلق به GSO و کمترین درصد این پارامتر متعلق به BGO و LuAP می‌باشد.



شکل ۷- درصد پارالاکس ناشی از تغییر زاویه فوتون ورودی برای ۵ بلوک آشکارساز انتخاب شده. کریستال مرکزی واقع در آرایه 13×13 از کریستالهای BGO, LSO, LYSO, GSO و LuAP با ابعاد $4 \times 4 \times 20$ میلی مترمکعب، با استفاده از یک منبع نقطه‌ای ۵۱۱ کیلوالکترون ولت تحت تابش قرار گرفت.

۲-۳- کسر پراکندگی بین کریستالی

در شکل ۵ درصد تغییرات پراکندگی بین کریستالی بر اساس تغییر اندازه سطح کریستال نشان داده شده است. همانگونه که در شکل مشاهده می‌شود، با افزایش سطح کریستال درصد پراکندگی بین کریستالی کاهش می‌یابد. این نتایج نشان می‌دهد که بین ۵ بلوک آشکارساز انتخاب شده بیشترین درصد پراکندگی بین کریستالی متعلق به GSO و کمترین درصد این پارامتر متعلق به BGO می‌باشد. در شکل ۶ درصد تغییرات پراکندگی بین کریستالی براساس تغییر طول کریستال، درصورتی که فوتون با زاویه 0° درجه به کریستال مرکزی تابیده شود نشان داده شده است. همانگونه که در شکل مشاهده می‌شود، با افزایش طول کریستال، درصد پراکندگی بین ۵ بلوک آشکارساز افزایش می‌یابد. این نتایج نشان می‌دهد که بین ۵ بلوک آشکارساز انتخاب شده بیشترین درصد پراکندگی بین کریستالی متعلق به GSO و کمترین درصد این پارامتر متعلق به BGO می‌باشد.



شکل ۵- درصد پراکندگی بین کریستالی ناشی از تغییر اندازه سطح کریستال برای ۵ بلوک آشکارساز انتخاب شده. کریستال مرکزی واقع در آرایه 13×13 از کریستالهای BGO, LSO, LYSO, GSO و LuAP با ابعاد $4 \times 4 \times 20$ میلی مترمکعب، با استفاده از یک منبع نقطه‌ای ۵۱۱ کیلوالکترون ولت تحت تابش قرار گرفت.

بدست آمده در این تحقیق اطلاعات دقیقی از برهمکنش فوتونها داخل کریستال فراهم می‌کنند.

نتایج حاصله از تغییر پارامتر صحت تشخیص موقعیت بر همکنش فوتون با تغییر طول و اندازه سطح کریستال، حاکی از آنست که این پارامتر با افزایش طول کریستال، کاهش و با افزایش اندازه سطح کریستال، افزایش می‌یابد. با توجه به استفاده از روش وزن انرژی، جهت یافتن موقعیت برهمکنش فوتون با کریستال، باکوچک شدن اندازه سطح کریستال پدیده پراکندگی بین کریستالی افزایش یافته و به همراه آن خطای مربوط به تعیین موقعیت برهمکنش فوتون بیشتر شده، صحت تشخیص موقعیت برهمکنش فوتون کاهش چشمگیری پیدا می‌کند. افزایش بهره وری به همراه افزایش قدرت تفکیک مکانی، جزو اهداف مهم در طراحی سیستم‌های PET به شمار می‌رود. افزایش طول کریستال همانطور که منجر به افزایش بهره وری می‌گردد، افزایش احتمال پدیده کامپتون را نیز به دنبال دارد. به دلیل استفاده از روش موقعیت یابی وزن انرژی، افزایش تعداد برخوردهای کامپتون، منجر به افزایش خطای موقعیت یابی و در نتیجه کاهش قدرت تفکیک مکانی می‌گردد. از طرفی همانطور که کاهش طول کریستال، کاهش تعداد برخوردهای کامپتون و افزایش قدرت تفکیک مکانی را به دنبال دارد، منجر به کاهش بهره وری دستگاه می‌گردد. بنابراین با استفاده از انتخاب طول کریستال با دقت زیادی صورت گیرد تا هر دو پارامتر بهره وری و قدرت تفکیک مکانی توان با همدیگر افزایش یابند.

نتایج حاصل از افزایش پارامتر پراکندگی بین کریستالی با افزایش طول کریستال نشان داد با افزایش طول کریستال، تعداد برخوردهای کامپتون افزایش یافته و پدیده پراکندگی بین کریستالی نیز بدنبال آن رشد چشمگیری پیدامی کند. با افزایش اندازه سطح کریستال، پدیده پراکندگی بین کریستالی کاهش یافته است. این نتیجه بدین صورت قابل توصیف است که با

۴-۳-تابع نقطه گستر

در جدول ۱، مقادیر پارامتر پهنانی منحنی در نصف ارتفاع پیشینه حاصل از نمودارهای تابع نقطه گستر، ناشی از تابش فوتون تحت سه زاویه 30° ، 45° و 60° درجه برای بلوك کریستالهای GSO، LYSO، LuAP، LSO و BGO نمایش داده شده است.

جدول ۱- نمایش مقادیر پارامتر پهنانی منحنی در نصف ارتفاع پیشینه (میلی متر) حاصل از تابش فوتون تحت سه زاویه 30° و 45° درجه.

سوسوزن	۰	۳۰	۴۵
BGO	۳/۵۴	۱۰/۴۵	۱۲/۱۲
LSO	۳/۶۶	۱۱/۱۱	۱۳/۳۳
LuAP	۳/۶۹	۱۰/۷۰	۱۲/۵۳
GSO	۳/۷۵	۱۲/۰۳	۱۶/۲۳
LYSO	۳/۶۵	۱۱/۵۷	۱۴/۵۷

همانگونه که از جدول ۱ نمایان است تحت زوایای 30° و 45° درجه، BGO کمترین و GSO بیشترین مقدار را برای پهنانی منحنی در نصف ارتفاع پیشینه دارا می‌باشد. از آنجا که تحت هر سه زاویه، کمترین مقدار پهنانی منحنی در نصف ارتفاع پیشینه را BGO و بالاترین مقدار را GSO دارا است، میتوان به این مساله پی‌برد که میزان پخش شدگی انرژی حاصل از برخوردهای متعدد کامپتون در کریستال BGO از کریستالهای دیگر کمتر می‌باشد. بنابراین با درنظر گرفتن خواص مرتبط با تضعیف فوتون ۵۱۱ کیلوالکترون ولت در کریستال BGO می‌توان گفت قدرت تفکیک مکانی آن نسبت به سایر کریستالها بالاتر است.

۴-بحث و نتیجه گیری

انرژی فوتون در این تحقیق، ۵۱۱ کیلوالکترون ولت در نظر گرفته شد که انرژی فوتونهای نابودی در سیستم PET می‌باشد. اگرچه ترا برد فوتونهای ۵۱۱ کیلوالکترون ولت با استفاده از روش مونت کارلو بسیار زمانبراست، داده‌های

پدیده پراکندگی بین کریستالی در پروسه بازسازی تصویر جهت رسیدن به تصاویری با قدرت تفکیک بالاتر بسیار مفید است. همچنین نتایج بدست آمده حاکی از آنستکه کد مونت کارلو(MCNP4C) ابزاری مفید جهت ارزیابی برهمکنش فوتونها در کریستالهای سیستم PET بمنظور مدلسازی دقیق رفتار پارامتر پراکندگی بین کریستالی در پروسه بازسازی تصویر جهت بهبود قدرت تفکیک مکانی این سیستم می باشد.

۵- تشکر و قدردانی

این کار نتیجه تحقیقات انجام گرفته در مرکز تحقیقات و تکنولوژی علوم در پزشکی بیمارستان امام خمینی- دانشگاه علوم پزشکی تهران می باشد. بدینوسیله از همکاری جناب آقای دکتر سرکار ریاست محترم مرکز تحقیقات و تکنولوژی علوم در پزشکی و نیز معاونت پژوهشی دانشگاه علوم پزشکی تهران، گروه فیزیک پزشکی و مهندسی پزشکی، به پاس زحمات و تلاش‌های ارزنده شان درجهت تکمیل این پروژه سپاسگزاری می گردد.

افزایش اندازه سطح کریستال، احتمال برخورد های متعدد کامپتون که بدنبال اولین برهمکنش فوتون با کریستال اتفاق - میافتد، تا توقف نهایی، در کریستال تحت تابش افزایش یافته و پدیده پراکندگی بین کریستالی کاهش می یابد.

با توجه به نتایج بدست آمده در این تحقیق، مشخص گردید که در بین ۵ کریستال انتخاب شده (BGO, LSO, LYSO, LuAP, GSO و پایین ترین مقدار پراکندگی بین کریستالی متعلق به BGO و پایین ترین صحت تشخیص محل برهمکنش و بالاترین مقدار پراکندگی بین کریستالی متعلق به GSO می باشد. همچنین نتایج نشان داد که کریستالهای BGO بالاترین قدرت تفکیک مکانی را در بین ۵ کریستال انتخاب شده در این تحقیق دارا می باشند.

اگرچه کریستالهای BGO بعنوان کریستال مناسب از لحاظ تضعیف فوتونی در این تحقیق معرفی شده است ولی میزان نور تولیدی در کریستال LSO و LYSO و همچنین سرعت بالای میرا شدن نور در این کریستالها باعث شده است که این دو کریستال در بیشتر سیستمهای PET مورد استفاده قرار گیرند. این اطلاعات برای اندازه گیری و مدلسازی دقیق

منابع

- Cherry S R, Sorenson J. Phelps M. Physics in Nuclear Medicine, Third Edition, Pennsylvania, Elsevier 2003: 235-358.
- Qi J, Leahy RM, Chinghan H, Farquhar TH, Cherry SR. Fully 3D Bayesian image reconstruction for the ECAT EXACT HR+. IEEE Trans Nucl Sci 1998; 45:1096-103.
- Selivanov VV, Picard Y, Cadorette J. Detector response models for statistical iterative image reconstruction in high resolution PET. IEEE Trans Nucl Sci 2000; 47:1168-75.
- Reader AJ, Julyan PJ, Williams H. EM Algorithm System Modeling by Image-Space Techniques for PET reconstruction. IEEE Trans Nucl Sci 2003; 50:1392-97.
- Panin VY, Kehren F, Rothfuss H, Hu D, Michel C, Casey M E. PET reconstruction with system matrix derived from point source measurements. IEEE Trans Nucl Sci 2006; 53: 152.

6. Rahmim A, Lodge MA, Tang J, Lashkari S, Ay MR. Analytic System Matrix Resolution Modeling in PET: An Application to Rb-82 Cardiac Imaging. 14th congress of the international society for burn injuries. Montreal 2008:1307-10.
7. Shao Y, Cherry SR, Siegel S, Silverman RW. A study of Inter- Crystal Scatter in Small Scintillator Arrays Designed for High Resolution PET Imaging. IEEE Trans Nucl Sci 1996; 43:1938-44.
8. Knoll GF, Knoll TF, Henderso TM. Light collection in scintillating detector composites for neutron detection. IEEE Trans Nucl Sci 1988; 35:872-5.

Archive of SID